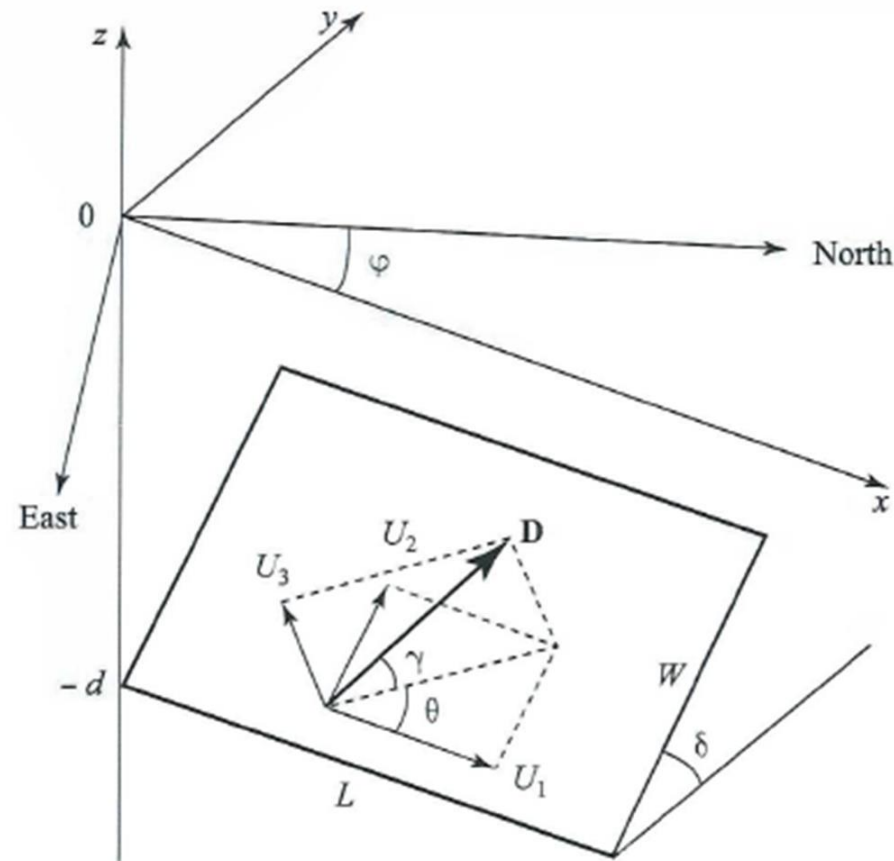


Fuente sísmica

RELACIONES EMPÍRICAS

Parámetros



φ : strike

δ : dip

γ : entre D y el plano

θ : rake

u_1 : strike-slip

u_2 : dip-slip

u_3 : tensile

Ejercicios

- $\delta=90^\circ$, $\theta=0^\circ$

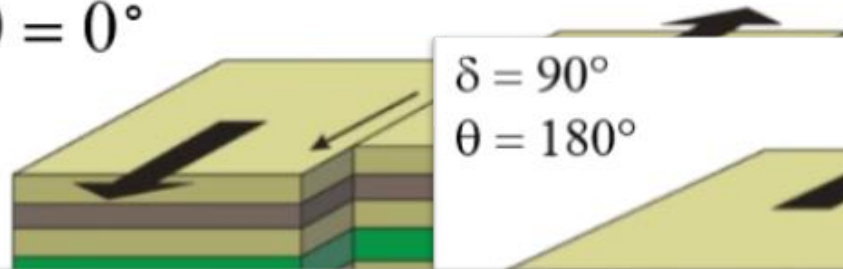
- $\delta=90^\circ$, $\theta=180^\circ$

- $\delta=45^\circ$, $\theta=90^\circ$

- $\delta=45^\circ$, $\theta=-90^\circ$

$\delta = 90^\circ$

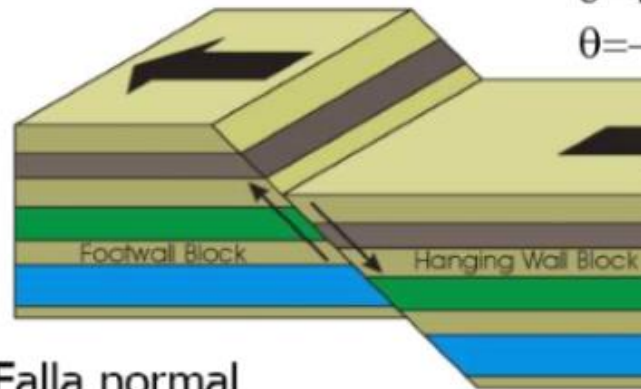
$\theta = 0^\circ$



$\delta = 90^\circ$
 $\theta = 180^\circ$

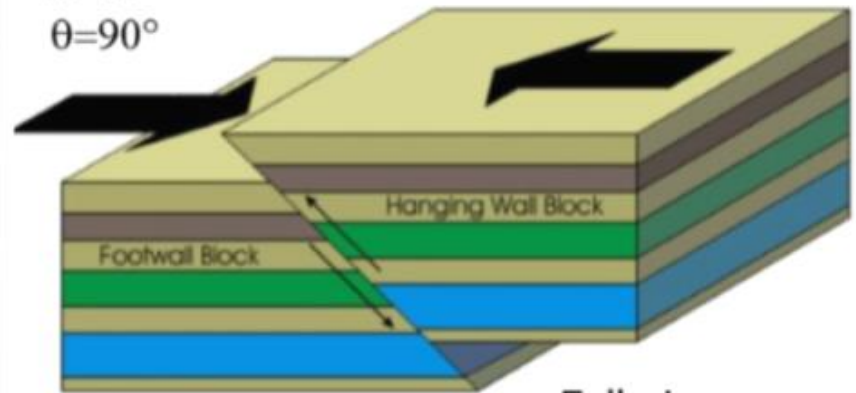


$\delta=45^\circ$
 $\theta=-90^\circ$



Falla normal

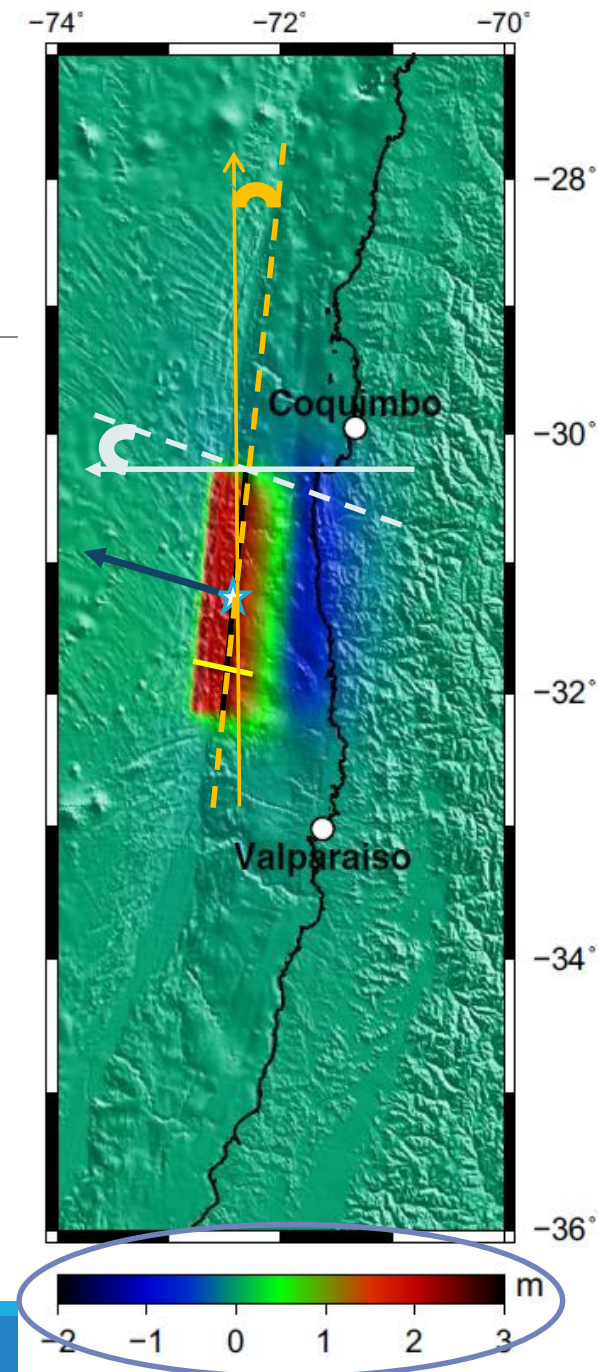
$\delta=45^\circ$
 $\theta=90^\circ$



Falla inversa

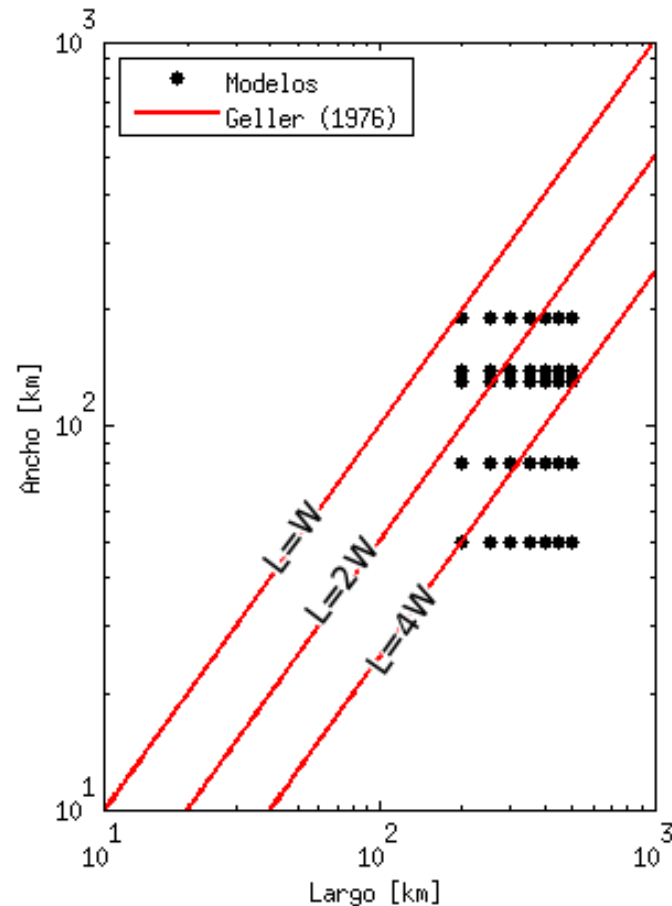
Parámetros de falla para tsunami

Largo	L
Ancho	W
Epicentro	(lon,lat)
Dislocación	d
Strike	φ
Dip	δ
Slip angle (rake)	θ

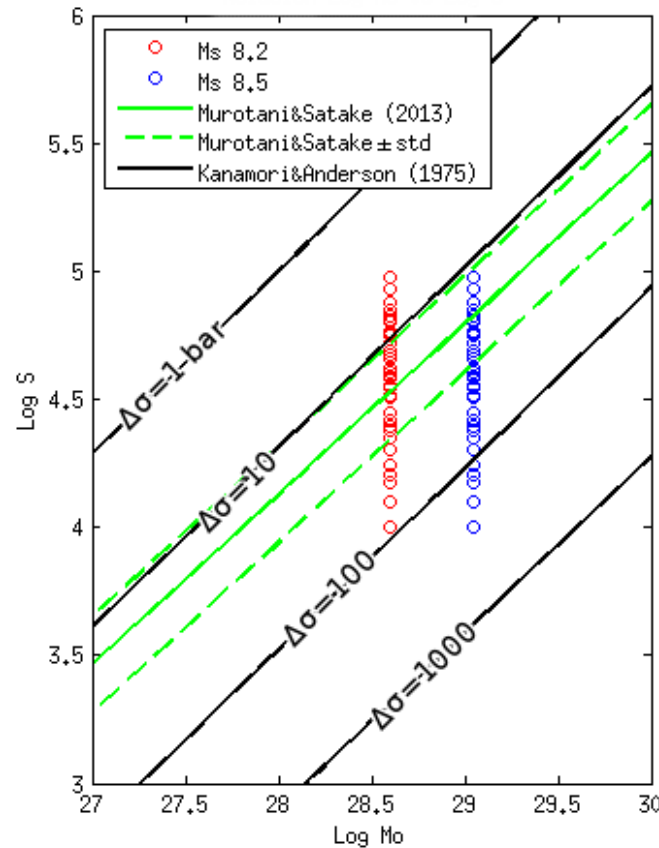


Parámetros de fuente sísmica

Relación entre L y W



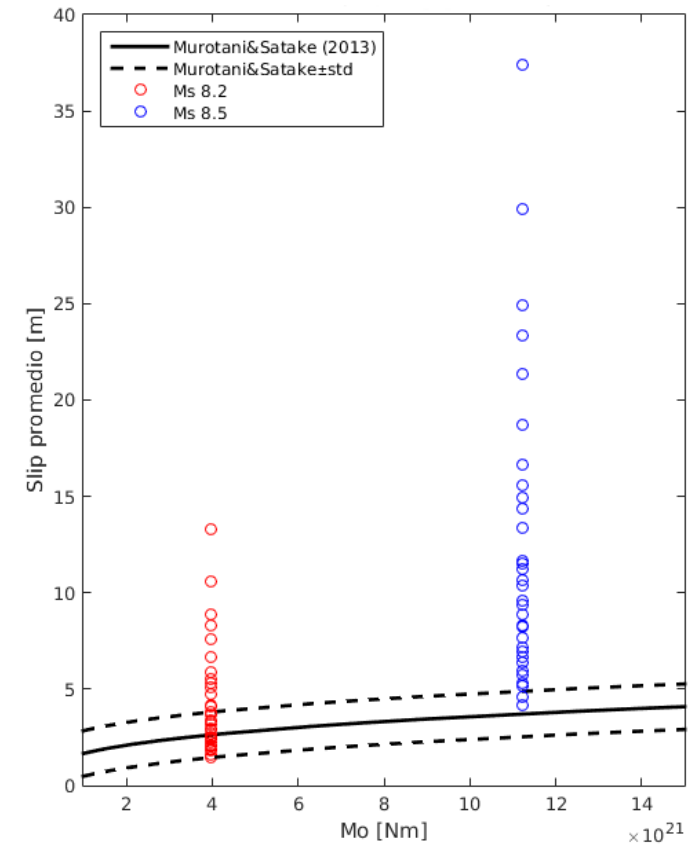
Relación entre M_0 y S



$$S = 1.34 \cdot 10^{-10} M_0^{2/3}$$

(Murotani y Satake, 2013)

Relación entre M_0 y \bar{D}

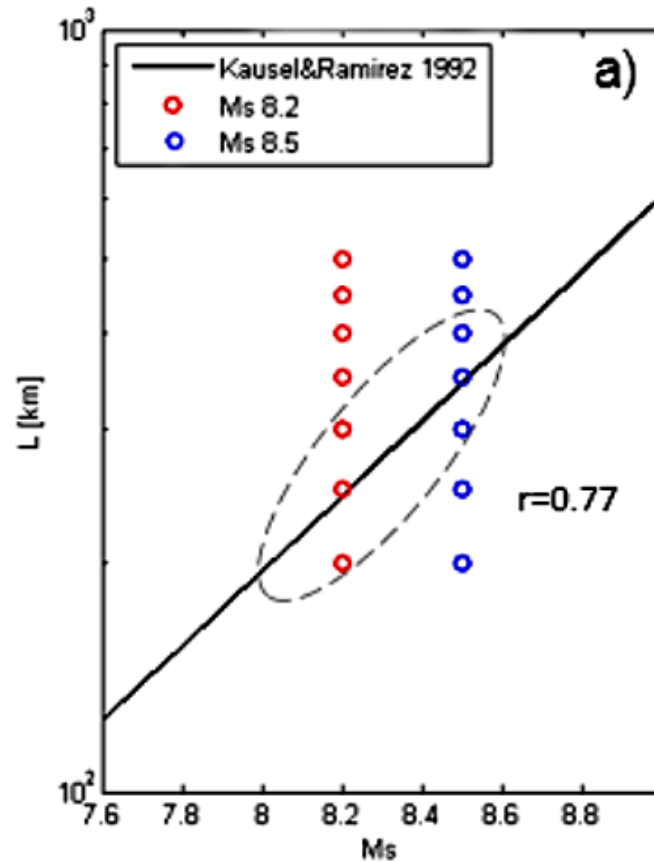


$$\bar{D} = 1.66 \cdot 10^{-7} M_0^{1/3}$$

(Murotani y Satake, 2013)

Parámetros de fuente sísmica

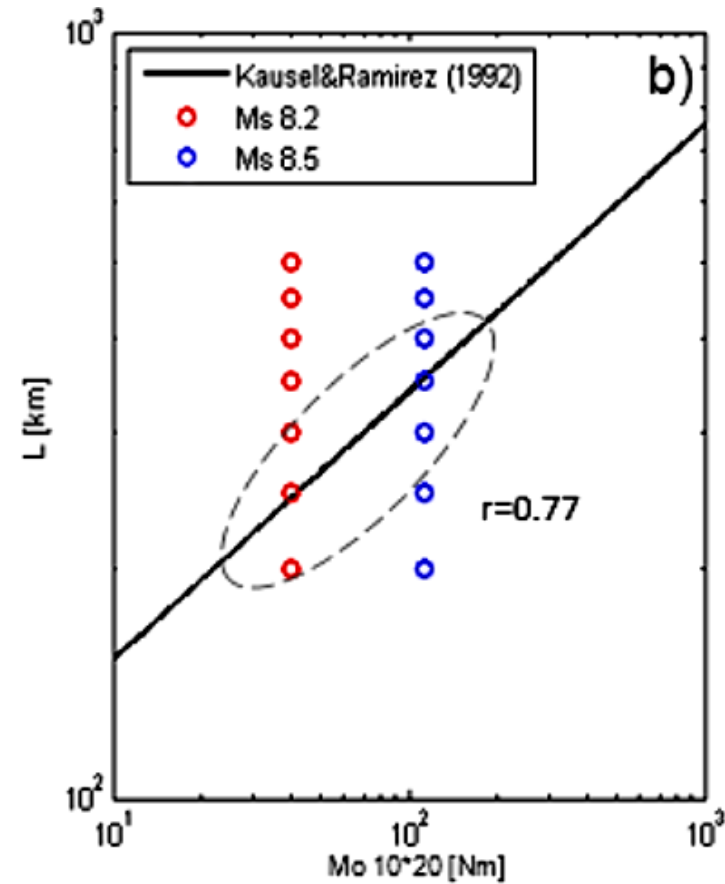
Relación entre M_s y L



$$\log L = -1.67 + 0.49 M_s$$

(Kausel y Ramírez, 1992)

Relación entre M_o y L



$$\log L = -7.48 + 0.35 \log M_o$$

(Kausel y Ramírez, 1992)

Otras relaciones...

$$\left. \begin{aligned} \log_{10} L [\text{km}] &= 0,5 M_w - 1,8 \\ \log_{10} W [\text{km}] &= 0,5 M_w - 2,1 \\ \log_{10} D [\text{m}] &= 0,5 M_w - 3,3 \end{aligned} \right\} \text{Kamigaichi, 2011}$$

$$\left. \begin{aligned} A &= 1,34 \times 10^{-10} M_o^{2/3} \\ D &= 1,66 \times 10^{-7} M_o^{1/3} \end{aligned} \right\} \text{Murotani et al, 2013 (M} \sim 9,0)$$

$$\left. \begin{aligned} \log_{10} L [\text{km}] &= 0,57 M_w - 2,37 \\ \log_{10} W [\text{km}] &= 0,46 M_w - 1,86 \end{aligned} \right\} \text{Blaser et al, 2010}$$

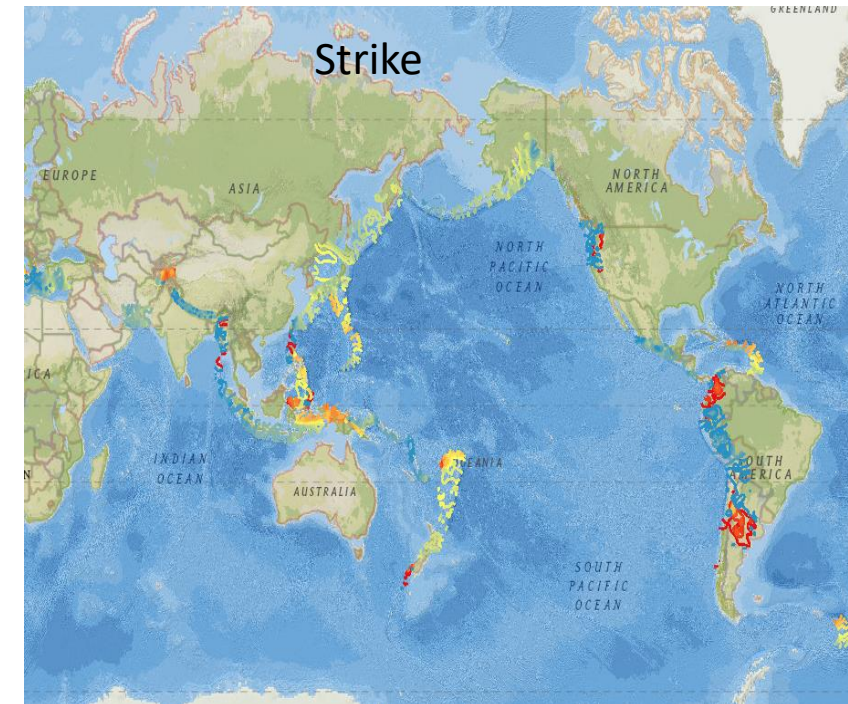
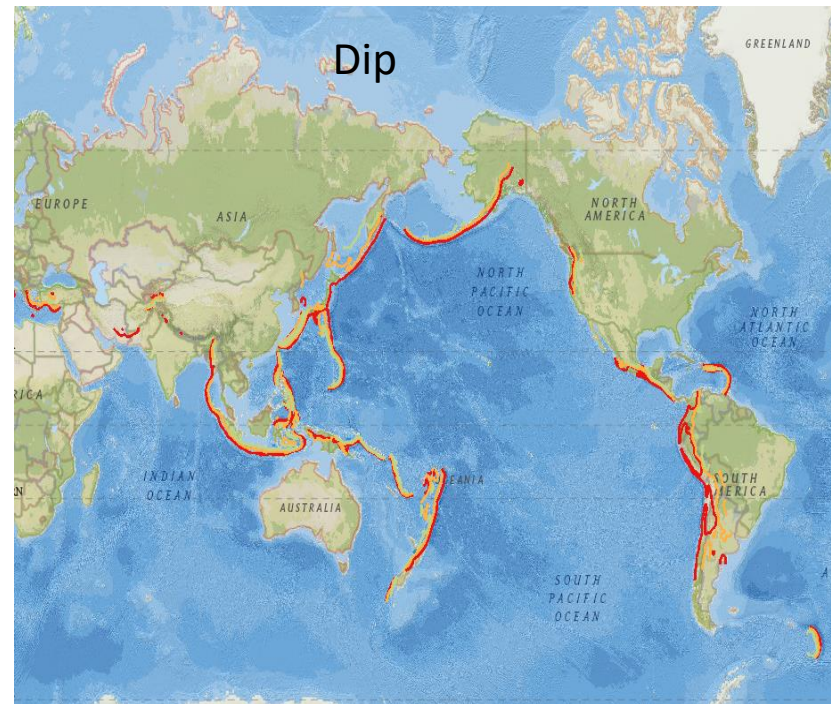
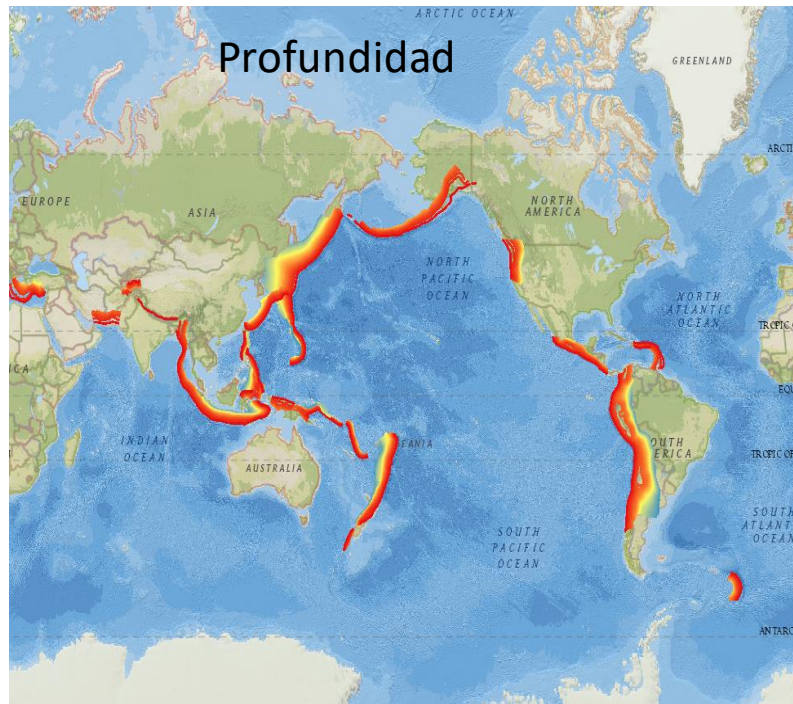
$$\left. \begin{aligned} \log_{10} L [\text{km}] &= 2,55 M_w - 2,19 \\ \log_{10} W [\text{km}] &= 0,31 M_w - 0,63 \end{aligned} \right\} \text{Papazachos et al, 2004}$$

$$\left. \begin{aligned} M_o &= \mu \bar{D} A \quad A = LW \\ M_w &= \frac{\log_{10} M_o}{1,5} - 6,07 \end{aligned} \right\} \text{Kanamori and Brosky, 2004}$$

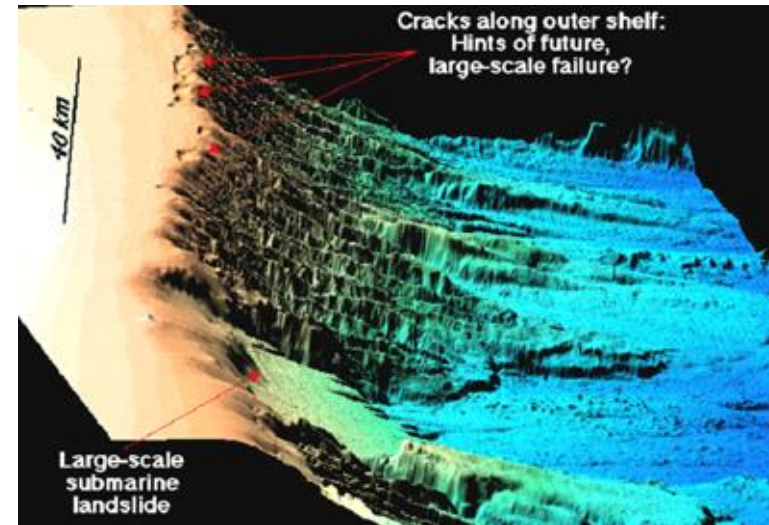
Parámetros del slab

Slab2.0 : Hayes et al., 2018

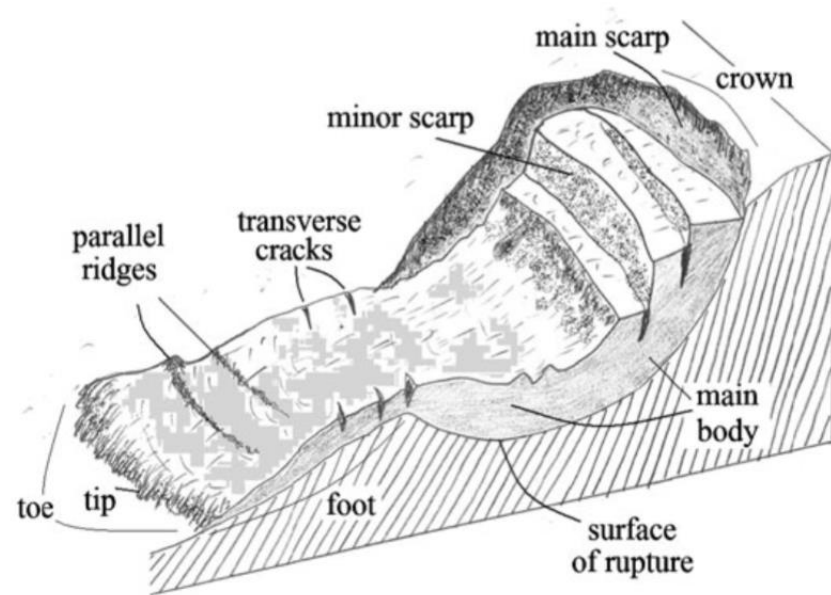
Slab1.0 : Hayes et al., 2012



Parámetros de fuente: Landslides

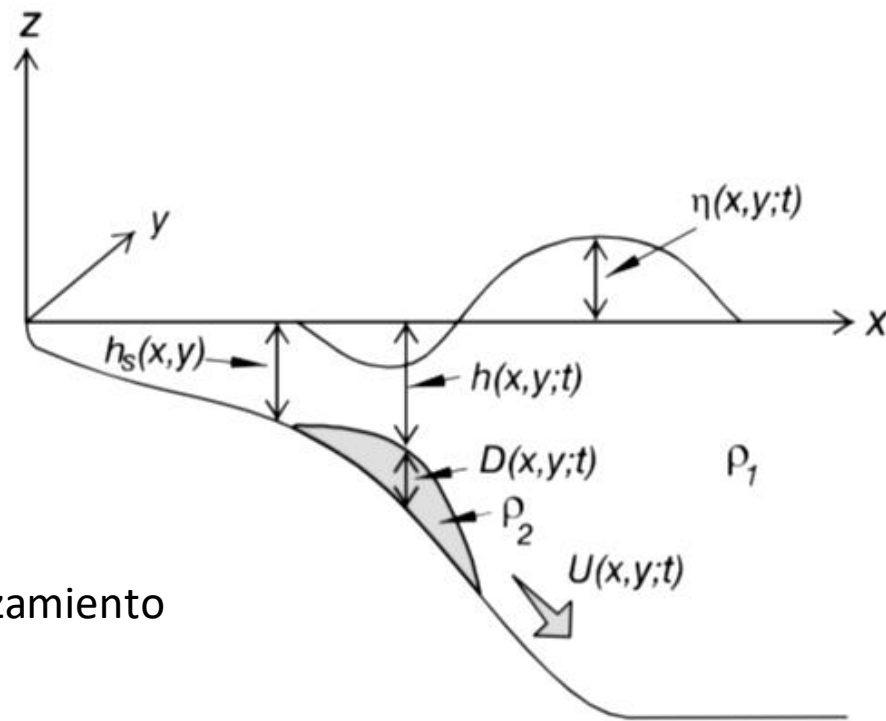


Colapso de una pendiente

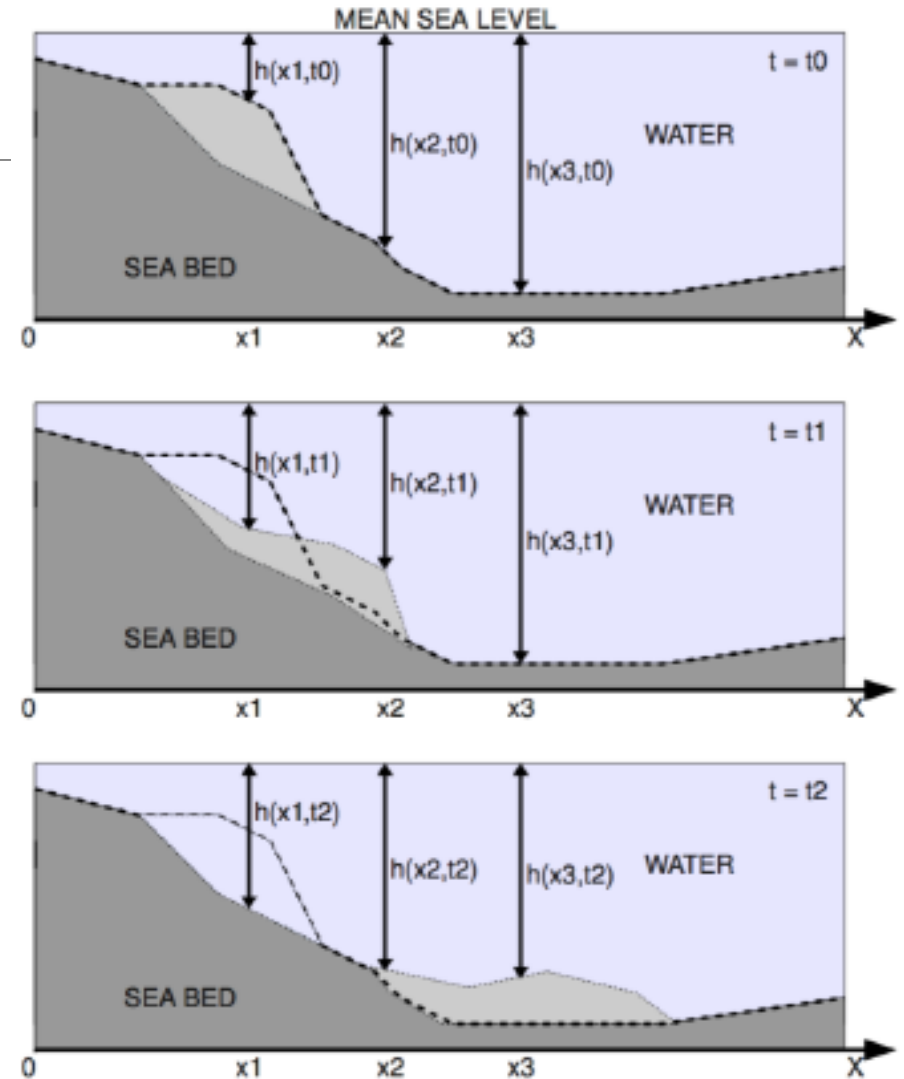


- Sobrecarga de capas débiles genera aumento en la presión de poro.
- Inicio de movimiento genera separación de las partículas, lo que aumenta la capacidad de fluencia del depósito.

Parámetros a considerar

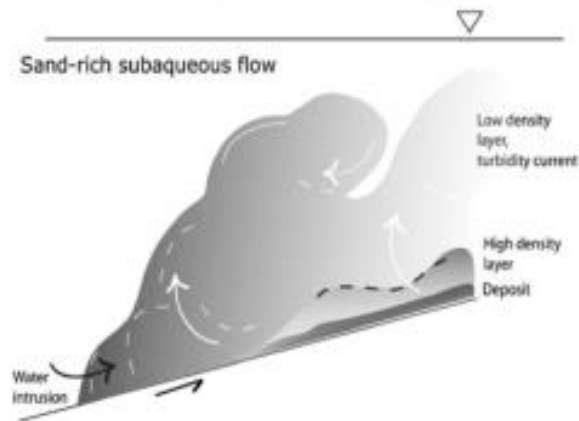


h : profundidades
 D : espesor material
 U : velocidad de deslizamiento
 ρ : densidades
 η : amplitud tsunami

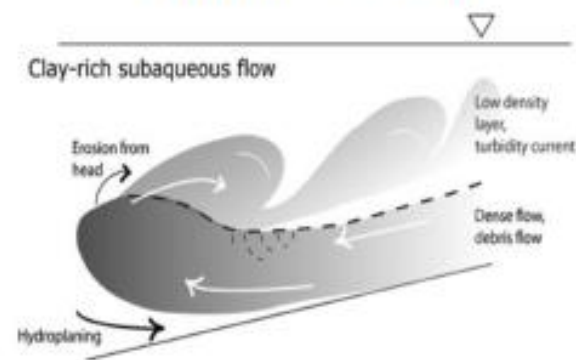


Espesores vs arcilla

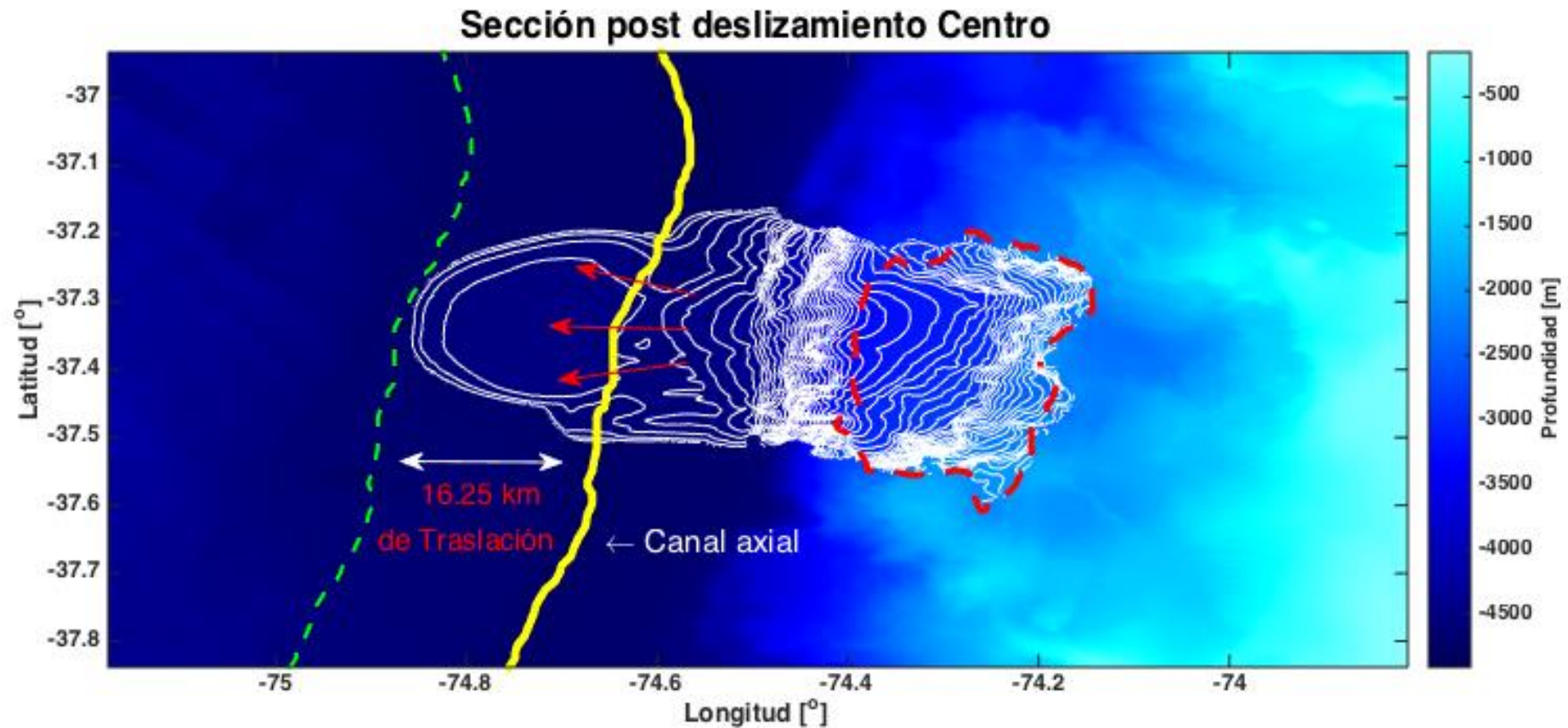
Corrientes turbidíticas *Arcilla < 25 %*



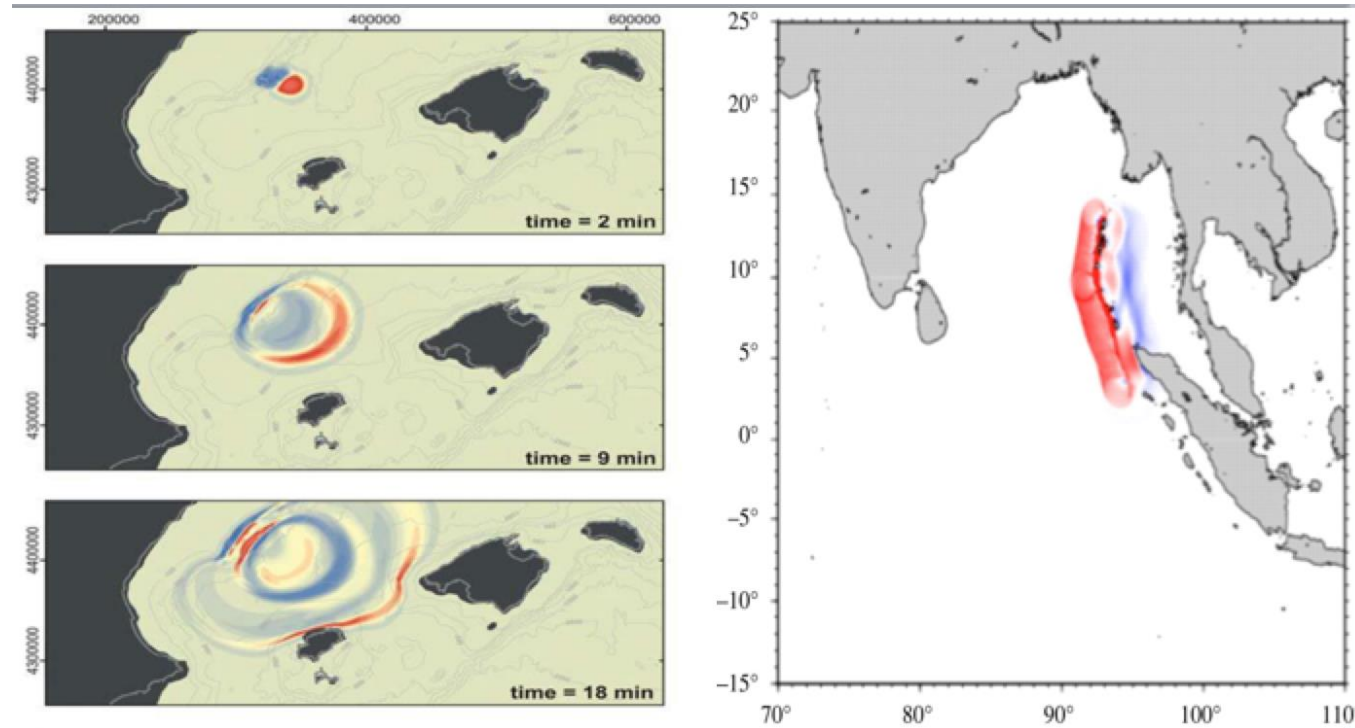
Flujos de escombros *Arcilla > 25 %*



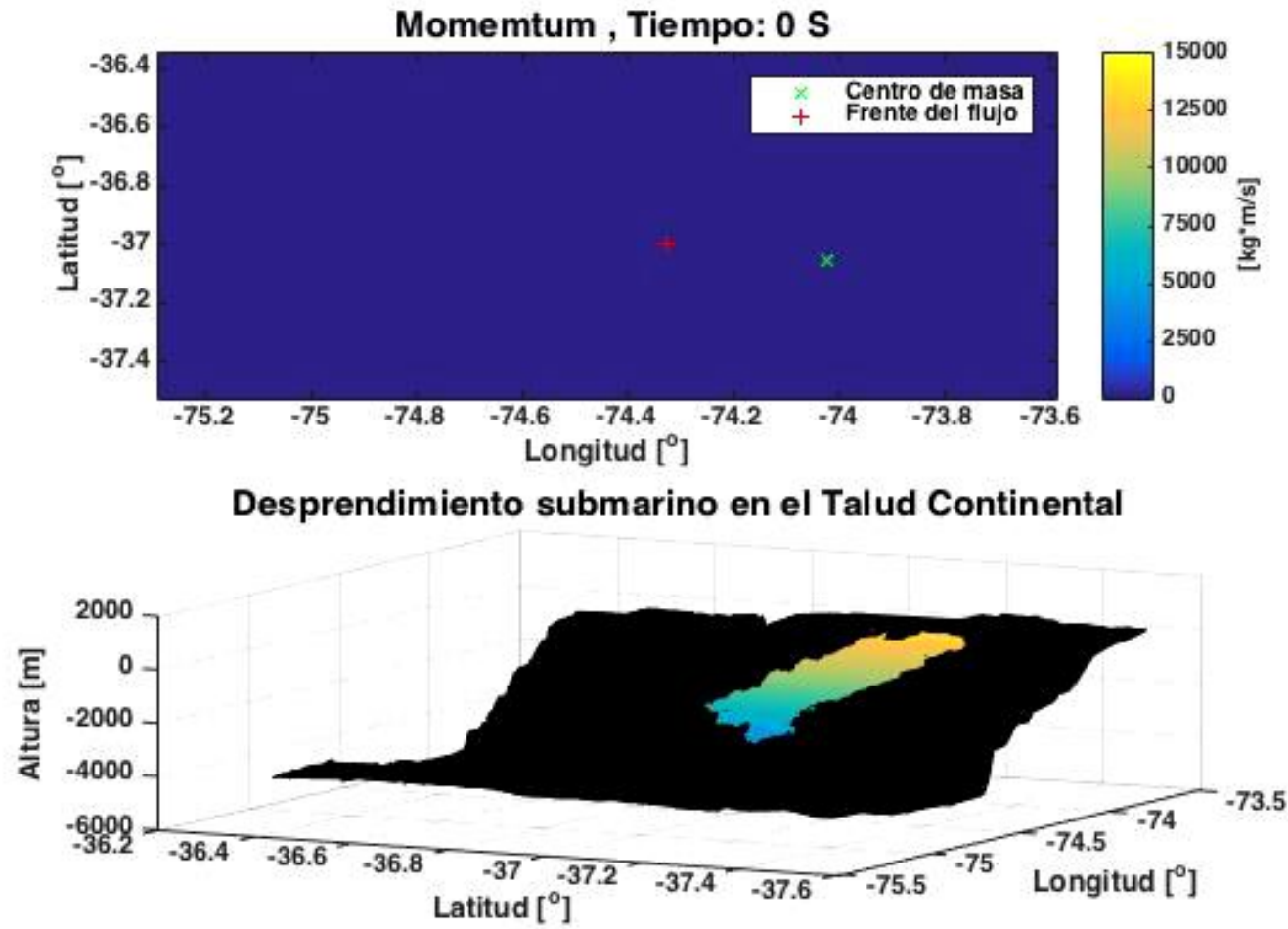
Landslide submarino



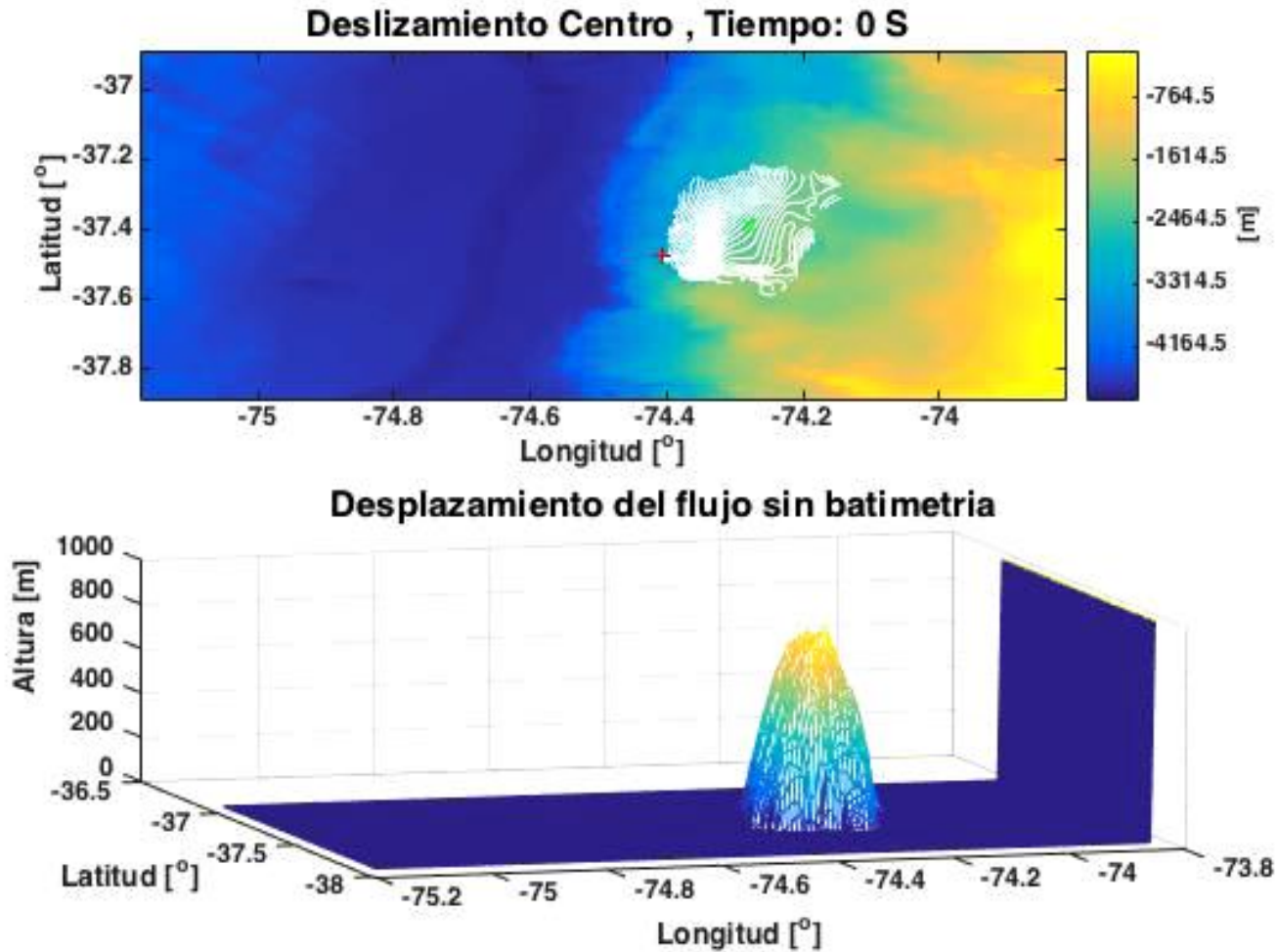
Comparación en patrón de radiación



Ejemplo de landslide

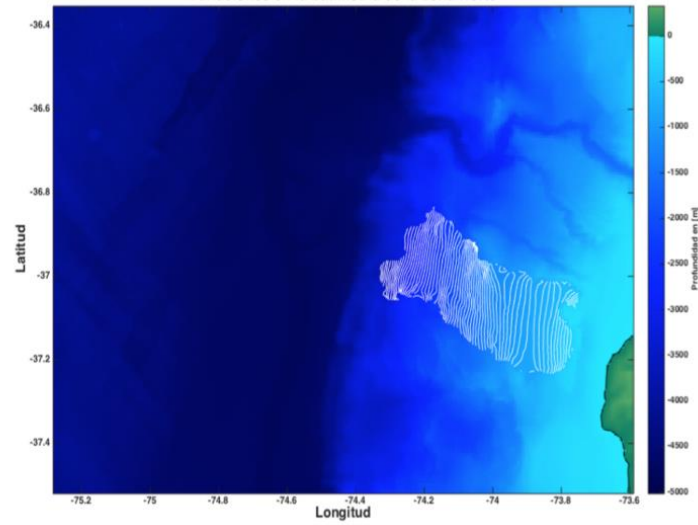


Ejemplo Landslide

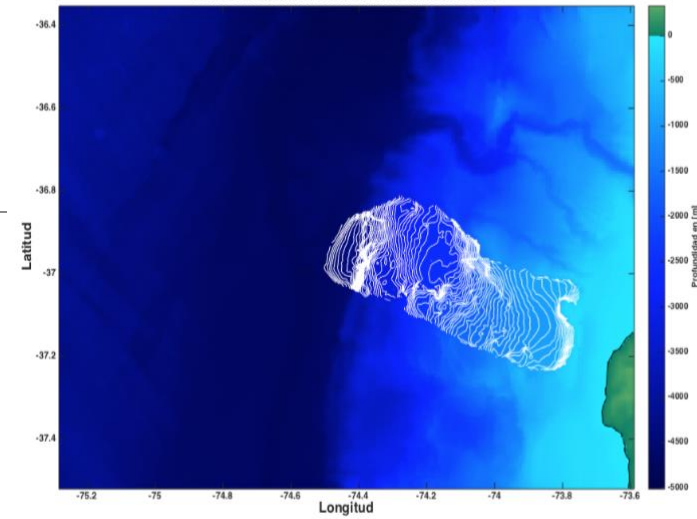


Flujo de escombros.

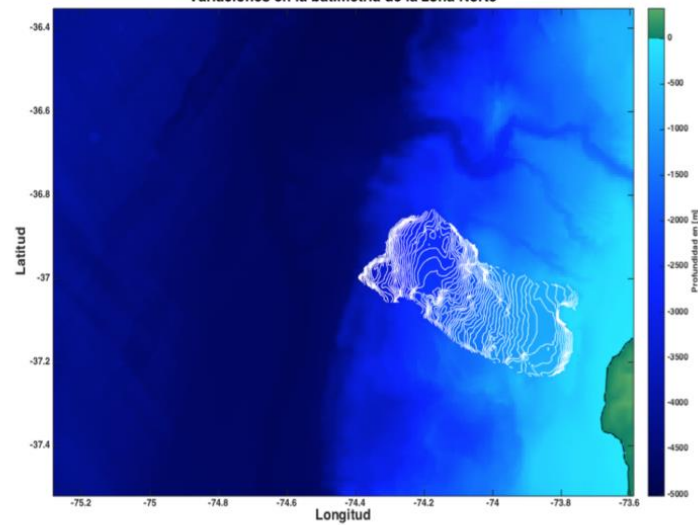
Variaciones en la batimetría de la zona Norte



Variaciones en la batimetría de la zona Norte



Variaciones en la batimetría de la zona Norte



Variaciones en la batimetría de la zona Norte

